

## 내분비장애물질에 대한 노출과 DNA-adduct 생성

양 미 희\*

숙명여자대학교약학대학 독성학교실

### DNA-adducts and Exposure to Endocrine Disrupting Chemicals

Mi-Hee Yang\*

Department of Toxicology, College of Pharmacy, Sookmyung Women's University  
Seoul 140-742, Korea

#### ABSTRACT

Endocrine disrupting chemicals (EDC) have been emphasized due to their threats in human health. Waste incinerator emission has been emphasized as a source of EDC including polychlorinated dibenzofurans (PCDD/F) and other carcinogenic polycyclic aromatic hydrocarbons (PAHs). Urinary 1-hydroxypyrene (1-OHP) has been used as an exposure biomarker for the PAHs. On the other hand, etheno-DNA adducts, e.g. 1, *N*<sup>6</sup>-ethenodeoxyadenosine (εdA), has been developed as an useful effective or response biomarker for carcinogenesis. Thus, I investigated association between urinary 1-OHP and εdA levels due to distance from an incinerator which was built more 10 years ago in the middle of a farm in P city. I designated the EDC-high and -low exposed group due to distance from the incinerator, i.e. within 2.5 km and 5.0~7.5 km from the incinerator, respectively. The study subjects were age and sex-matched males and females (mean age, 61.3 ± 9.6 yrs; total 40 persons, male, 10; female, 10 for the each group). Urinary 1-OHP and εdA were analyzed with HPLC-FD and IP-HPLC-FD, respectively. As results, the distance from the incinerator was not associated with urinary 1-OHP nor εdA levels ( $p=0.43$  and  $0.82$ , respectively). On the other hand, urinary εdA levels were significantly higher in the hyperlipidemia group ( $N=10$ ) than normal group ( $N=30$ ). In conclusion, urinary 1-OHP nor εdA levels can not be suggested as an incinerator-related exposure nor effective biomarker. However, not only distance from the incinerator but also systemic approaches including wind and soil contamination are required to assume exposure levels of incinerator-related EDC.

**Key words** : 1-OHP, Endocrine disrupting chemicals, incinerator, DNA-adduct

#### 서 론

다이옥신 등 내분비장애물질 (Endocrine disrupting chemicals, EDC)에 대한 노출은 인간, 종(種)의 위기를 우려할 위험을 내포하기 때문에 전 세계적

으로 협력하여 속히 풀어야할 과제이다 (Colborn *et al.*, 1996). 그러나, 유감스럽게도 EDC의 노출 용량-반응 (dose-response)관계에 의거한 반응종말점 (end point)이 명확히 밝혀지지 않아 (Roy *et al.*, 1997), EDC와 인체건강위험, 특히 발암과의 관계는 아직 명확히 究明되지 못하여 EDC에 대한 시급한 규제나 정책이 확립되지 못한 실정이다. 그러므로, 본 연구는 EDC의 반응종말점을 찾고 발암까지 이르

\*To whom correspondence should be addressed.  
Tel: +82-2-2077-7179, E-mail: myang@sookmyung.ac.kr

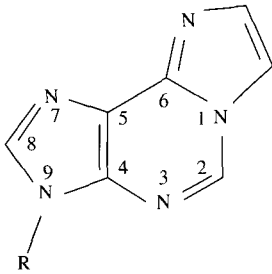


Fig. 1. Chemical structure of 1, *N*<sup>6</sup>-ethenodeoxyadenosine (edA).

는 일련의 작용機構를 분자역학 (molecular epidemiology) 기법을 통하여 (Kawamoto *et al.*, 1999) 수행하였다. 즉, 기존 분석역학의 제한적인 병인과 발병사이의 알지 못하는 black box인 병인에서 발생까지 일련의 작용 mechanism을 분자생물학적으로 설명하는 기법을 사용하여, 내분비장애물질이 인체 내 병변을 초래하는 반응지표의 발굴에 노력하였다. 본인은 본연구에서 내분비장애물질에 고도노출이 우려되는 우리나라 소각장 주민의 건강위해 연구를 수행하여, DNA-microarray를 이용, 내분비장애물질 반응 후보유전자 40종을 발굴하였고 (Yang, 2005), 이와 더불어 발암화를 잘 반영하는 비침해적인 조기진단지표를 이용하여 내분비장애물질과 발암 관련성에 대하여 연구하기 위하여 조기 발암원 노출 생체지표인 생체내 DNA 변성 부가체, 즉 etheno-DNA adducts에 주목하였다. 최근 DNA adducts는 대표적인 비침해적 생체시료인 뇨에서 측정이 가능하게 되었고 (Bartsch *et al.*, 1999; Bartsch *et al.*, 2000; Bartsch *et al.*, 2002; Hasnaoka *et al.*, 2002), 특히, immunoprecipitation-high performance liquid chromatography/fluorescence detector (IP-HPLC-FD)를 이용하여 방사선 동위원소를 쓰지 않고도 손쉽게, 1, *N*<sup>6</sup>-ethenodeoxyadenosine (edA, Fig. 1) 등 DNA adducts를 정량하는 방법이 개발되었다 (Bartsch *et al.*, 1999).

한편, 다환성방향족탄화수소는 소각장 등 탄소, 수소 화합물의 불완전 연소에 의해 생성되는 물질로 다이옥신 등 EDC를 다수 포함한다고 알려져 있다 (Yang *et al.*, 2006). 본 연구에서는 다환성방향족탄화수소의 노출지표로 알려진 뇨 중 1-hydroxypyrene (1-OHP)을 분석하여 본 소각장 주변 주민

의 내분비장애물질 노출 정도를 추정하였다. 그러므로, 본 연구에서는 내분비장애물질에 대한 노출과 암화의 관련을 구명하기 위하여 우리나라 소각장 주민의 소변 중 1-OHP과 edA level의 상관을 조사하였다.

## 방 법

### 1. 연구 대상

P시 소각장 반경 2.5 km 내 및 그 밖(반경 5~7.5 km)에 거주하는 성, 나이를 일치한 각 20명을 각각 내분비장애물질 고노출군, 저노출군으로 추정, 모집하여 식이, 직업, 질병 등에 대한 설문을 실시하였고, 아침 식전 소변을 채집하였다 (남녀, 각각 20명; 평균연령, 61.3 ± 9.6년). 또한, 임상 의에 의하여 혈액검사를 통하여 당뇨병, 고지혈증 등에 관한 검진을 실시, 그 정보를 제공받았다.

### 2. 1-OHP 및 creatinine 분석

뇨 중 1-OHP는 역상 HPLC/FD법으로 측정하였다 (Hara *et al.*, 1997). 또한 뇨의 농도를 보정하기 위하여 뇨 중 creatinine은 ion pair 역상 HPLC/UV법으로 분석하였다 (Ogata *et al.*, 1987). 1-OHP 측정을 위한 HPLC system은 SP930D (Younglin Instrument, Seoul) 펌프, type830 (MIDAS, AJ Emmen, Netherlands) autosampler, FP-2020 Plus Intelligent Fluorescence Detector (Jasco, Tokyo, Japan)로 구성되었다. Creatinine 분석을 위한 UV detector는 SPD-10A UV-VIS detector (Shimadzu, Kyoto, Japan)을 사용하였다.

컬럼은 모두 Waters Symmetry<sup>®</sup>C18, 5 μm (150 × 4.6 mm: Milford, MA)를 사용하였다.

### 3. DNA-adduct 분석

뇨 중 edA은 IP-HPLC-FD법으로 측정하였다 (Nair, 1999; Hanaoka *et al.*, 2002; Lee *et al.*, 2006). 간단히, 뇨 3 mL를 0.22 micron filter로 여과 후, 여과한 뇨 2 mL에 내부표준액인 1, *N*<sup>6</sup>-ethenoadenosine [2, 8-<sup>3</sup>H] (synthesized by reacting adenosine-[2, 8-<sup>3</sup>H]) 10,000 DMP, 5'-bromodeoxyuridine 2 pmol를

spike하였다. 이에 냉 ethanol 2 mL를 가하여 단백 침전 후, 진공건조하여 건조물을 증류수 50 µL에 녹여 상등액을 preparative HPLC로 분리하여 3 fraction으로 나누어 채집 후, 내부표준물질 fraction에서 liquid scintillation counter로 수득물을 점검하였다. 추정 edA fraction은 진공건조 후, 추가적으로 내부표준액 5,000 DMP을 가한 후, antibody enrichment법에 의거, 항원-항체반응, 침전, elution과정을 거쳐 역상 HPLC/FD법으로 edA를 정량하였다. 정량에 사용된 HPLC 시스템은 다음과 같다: HP1100 pump, HP1046A fluorescence detector (Hewlett Packard, Waldbronn, Germany), 250 × 4.6 mm Lichrospher 100 RP 18E 5 µm column (Bischoff, Leonberg, Germany); 이동상, 20 mM (NH<sub>4</sub>)<sub>3</sub>PO<sub>4</sub> buffer (pH 5)/methanol, 30분간 9 : 1에서 8 : 2; 유속, 1 mL/min; excitation 230/emission 410 nm; 표준품 edA standard (Sigma-Aldrich, Schnellendorf, Germany)으로 검량선을 작성하여 정량하였다.

**4. 통계분석**

노 중 1-OHP 및 edA level을 기하학적 치환 후 EDC 고노출, 저노출군의 두 그룹간 비교를 위하여 T-test를 사용하였다. 1-OHP와 edA level과의 비교는 regression analysis를 수행하였다. 모든 통계분석은 JMP (SAS Institute, Cary, NC) 제4버전을 사용하였다.

**결 과**

**1. 실험대상자분포**

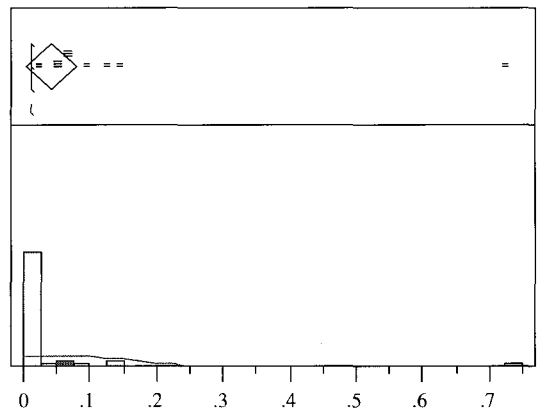
Table 1과 같이 성, 연령을 일치하도록 모집하였다. 또한, 남녀간에도 연령에 유의적인 차이가 없이 모집하였다 (남, 녀 평균연령, 각각 62.3 ± 2.2세 및 60.4 ± 2.2세). 두 군간의 당뇨, 고지혈 등 질병에 대한 분포의 차이도 없었다.

**2. 1-OHP의 분포**

검출한 노 중 1-OHP의 농도 범위는 0.0295 ~ 0.196 µg/L, creatinine 보정 시 0.026 ~ 0.726 µg/g creatinine로 나타났다. 통계분석을 위하여 검출한계

**Table 1.** Characteristics of subjects

|                | EDC<br>-high exposure | EDC<br>-low exposure |
|----------------|-----------------------|----------------------|
| Male (N)       | 10                    | 10                   |
| Female         | 10                    | 10                   |
| Age (yrs)      | 61.5 ± 2.2            | 61.1 ± 2.2           |
| Diabetes       | 2                     | 2                    |
| Hyperlipidemia | 5                     | 5                    |

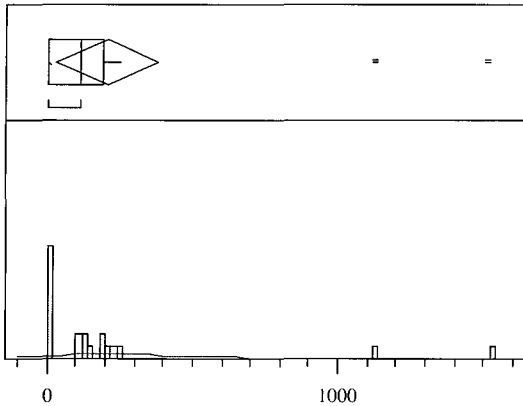


**Fig. 2.** Distribution of urinary 1-OHP: Histogram of 1-OHP levels with outlier box plot (mean ± std, 0.04 ± 0.12 µg/g creatinine).

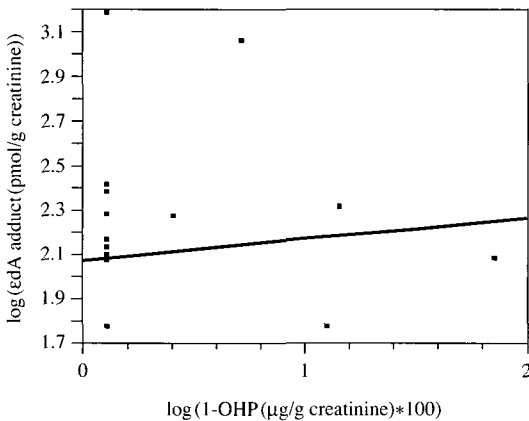
이하의 시료는 최소농도의 반값으로 처리하였다. Fig. 2에서 보는 바와 같이 정규분포를 따르지 않고 왼쪽으로 치우치는 분포를 가지므로 통계분석을 위하여 기하학적 치환을 수행하였다.

**3. 1-OHP와 EDC 노출과의 관계**

EDC에 대한 노출을 반영하는 인자로 소각장과의 거리, 노 중 1-OHP level을 선택하여 분석한 결과, 소각장에서 가까이 거주하는 EDC 고노출군으로 추정된 인구에서 노 중 1-OHP level은 소각장과 멀리 떨어진 지역에 거주하는 EDC 저노출군으로 추정된 인구와 유의적인 차가 없었다 (고노출군 vs. 저노출군, geometric mean of 1-OHP (µg/g creatinine) geometric std, 1.06, 1.09 vs. 1.14, 1.44; p = 0.43). 따라서 본 연구대상자에서 노 중 1-OHP는 소각장 유래 EDC에 의한 노출과는 직접관련이 없는 것으로 사료되었다.



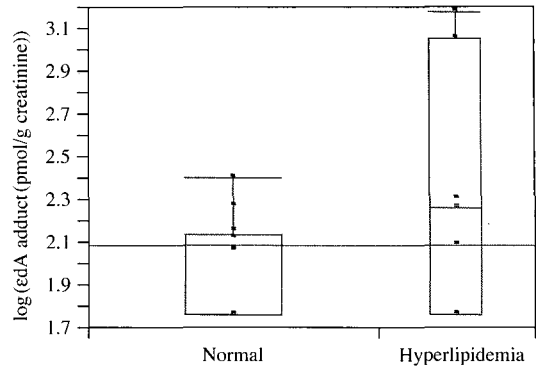
**Fig. 3.** Distribution of urinary edA: Histogram of edA levels with outlier box plot (mean  $\pm$  std, 206.8  $\pm$  387.7 pmol/g creatinine).



**Fig. 4.** Lack of association between urinary 1-OHP and edA adduct levels: Regression coefficient=0.09,  $p=0.63$ .

**4. DNA-adduct의 분포**

노 중 edA의 농도는 31.8~1364.9 fmol/mL의 범위로 나타났다. Creatinine 보정 시, 115.4~1520 pmol/g creatinine의 범위였다. 통계분석을 위하여 검출한계이하의 노 중 edA시료는 최소농도의 반값으로 처리한 후, Fig. 3에서 보는 바와 같이 정규분포를 따르지 않고 왼쪽으로 치우치는 분포이므로, 통계분석을 위하여 기하학적 치환을 수행하였다.



**Fig. 5.** Association between hyperlipidemia and urinary edA adduct levels:  $p=0.04$ .

**5. DNA-adduct와 EDC 노출과의 관계**

노 중 edA level과 소각장과의 거리를 비교할 때, 소각장에 가까이 사는 지원자에게서 유의적인 edA level 증가는 나타나지 않았다 (고노출군 vs. 저노출군, geometric mean of edA (pmol/g creatinine), geometric std, 131.8, 2.69 vs. 120.2, 2.57;  $p=0.82$ ). 또한, 노 중 edA과 1-OHP level 사이에도 유의적 관련이 관찰되지 않았다 (Fig. 4).

그러나, 흥미로운 것은 자원자 중 고지혈증군 (N=10)에서 정상군 (N=30)과 비교 시 유의적으로 높은 노 중 edA level을 보였다 (Fig. 5).

**고 찰**

유기염소계화합물, 중금속을 비롯한 혼합 폐기물은 소각장에 투하되어 소각과정을 거쳐 더 독성이 큰 화합물로 변화할 가능성이 높다. 소각을 통해 생성된 다양한 형태의 부산물은 공기 중 부유먼지, 질소산화물, 유황산화물, PAHs 등 다양한 형태로 토양, 수질, 공기를 오염시킬 수 있으므로 소각장은 거주지역과는 안전거리를 확보하여 설치되어야 하고 소각된 부산물은 용출될 위험이 없는 곳에 매립하는 등 철저한 관리가 필요하다. 유감스럽게도 우리나라의 경우, 오래된 산업폐기물 소각장은 여전히 거주지 인변에 버젓이 존재하여 주민들과의 마찰을 빚으며 주민의 건강을 위협하고 있다.

현재, 소각장 관련 인체위해연구는 다양한 역할

연구를 중심으로 진행되어왔다(Franchini *et al.*, 2004). 예를 들면, 노후된 소각장과 최신 설비를 갖춘 소각장에서 일하는 노동자의 혈 중 PCDD/F level 비교를 통하여 기술적으로 오염을 통제할 수 있는 방안이 제안되었다(Schechter *et al.*, 1995). 그러나, 소각장과의 노출거리와 혈 중 PCDD/F level에서는 기존의 보고들로부터 유의적 양의 관계가 나타나지 않았다(Gonzalez *et al.*, 2000; Leem *et al.*, 2006).

본 연구는 P시의 농가 한 가운데 설치된 지 10 수년된 소각장에 주목하여 그 지역 주민을 대상으로 소각장 유래물질 중, 특히 PAHs 노출과 암 등 유전자손상으로 인한 질환의 대표적인 effective biomarker 중 하나인 DNA-adduct를 중심으로 연구하였다. 본 연구에서도 소각장과의 거리는 노 중 1-OHP level, DNA-adduct level과 유의적인 양의 관계를 나타내지 않았다. 한편, 소각장과는 관련이 없으나 다양한 매체로부터 PAHs 노출로 추정되는 노 중 1-OHP level도 DNA-adduct level과는 유의적 양의 관계가 관찰되지 않았다(Fig. 4).

흥미로운 것은 자원자 중 고지혈증으로 진단된 그룹에서 유의적인 *edA* level의 상승이 관찰되었다. 아직, '고지혈증과 DNA-adduct'와의 관계는 많이 연구되어 있지 않으나, *edA*는 지방산화에 의해 유도되며, 이는 비타민 E 및 채소의 섭취에 의해 예방될 가능성이 있고(Hagenlocher *et al.*, 2001), 관상동맥질환과 DNA-adduct level의 양의 관계가 예견된 점(Van Schooten *et al.*, 1998)을 고려할 때, 향후 이러한 관련성은 질병의 기전 및 병인학을 밝히는 데 활용가능성이 높을 것으로 추정된다.

## 결 론

본 연구로부터 내분비장애물질의 강력한 노출원으로 추정되는 소각장과 거주거리는 EDC의 노출 지표의 하나로 설정한 PAHs 노출지표, 1-OHP, 암화의 조기 진단 혹은 effective biomarker인 DNA-adduct, *edA*와는 유의적 관련이 관찰되지 않았다. 따라서 이 두 지표는 소각장 유래의 특이적인 지표로는 제안하기 어렵다. 그러나, 소각장유래의 노출을 단순히 거리로 국한하지 않고 거주기간, 풍향, 토양오염 등을 고려하는 다각적인 접근도 필요하

다. 한편, *edA*의 경우, 자원자 중 고지혈증군에서 상승하는 경향이 나타나 향후 이러한 질환에 대한 유용한 생체지표로서의 활용이 기대된다.

## 감사의 글

자원자모집, 시료채집에 도움을 주신 인하의대 임종한 교수님, DNA-adduct 분석에 도움을 주신 독일 암연구소(DKFZ, Heidelberg)의 Dr. Bartsch H 및 Dr. Nair J에 감사드립니다.

## 참 고 문 헌

- Bartsch H, Nair and Owen RW. Exocyclic DNA adducts as oxidative stress markers in colon carcinogenesis: potential role of lipid peroxidation, dietary fat and antioxidants, *Biol Chem* 2002; 383: 915-921.
- Bartsch H and Nair J. Ultrasensitive and specific detection methods for exocyclic DNA adducts: markers for lipid peroxidation and oxidative stress, *Toxicology* 2000; 153: 105-114.
- Bartsch H. Key notes: Exocyclic DNA adducts as new biomarkers for DNA damage in man, *Exocyclic DNA adducts in mutagenesis and carcinogenesis*, IARC 1999; 150: 1-16.
- Colborn T, Dumanoski D and Myers JP. *Our stolen future: Are we threatening our fertility, intelligence, and survival?* New York: Penguin Books USA Inc., 1996.
- Franchini M, Rial M, Buiatti E and Bianchi F. Health effects of exposure to waste incinerator emissions: a review of epidemiological studies, *Annali dell'Istituto superiore di sanita* 2004; 40(1): 101-115.
- Gonzalez CA, Kogevinas M, Gadea E, Huici A, Bosch A, Bleda MJ, *et al.* Biomonitoring study of people living near or working at a municipal solid-waste incinerator before and after two years of operation, *Archives of environmental health* 2000; 55(4): 259-267.
- Hagenlocher T, Nair J, Becker N, Korfmann A and Bartsch H. Influence of dietary fatty acid, vegetable, and vitamin intake on etheno-DNA adducts in white blood cells of healthy female volunteers: a pilot study, *Cancer Epidemiol Biomarkers Prev* 2001; 10(11): 1187-1191.
- Hanaoka T, Nair J, Takahashi Y, Sasaki S, Bartsch H and Tsugane S. Urinary level of 1,N(6)-ethenodeoxyadenosine, a marker of oxidative stress, is associated with salt

- excretion and omega 6-polyunsaturated fatty acid intake in postmenopausal Japanese women, *Int J Cancer* 2002; 100: 71-75.
- Hara K, Hanaoka T, Yamano Y and Itani T. Urinary 1-hydroxypyrene levels of garbage collectors with low-level exposure to polycyclic aromatic hydrocarbons, *Sci Total Environ* 1997; 199: 159-164.
- Kawamoto T and Yang M. Genetic polymorphisms in metabolic enzymes and metabolism of carcinogens, In Hanaoka T (ed.) *Search for black boxes of environment-induced cancers: Challenge of molecular epidemiology in occupational medicine*. Institute of Occupational Science Press, Human science-frontier series 2000 [III], 1999.
- Lee KH, Bartsch H, Nair J, Yoo DH, Hong YC, Cho SH, *et al.* Effect of short-term fasting on urinary excretion of primary lipid peroxidation products and on markers of oxidative DNA damage in healthy women, *Carcinogenesis* 2006; 27(7): 1398-1403.
- Leem JH, Lee DS and Kim J. Risk factors affecting blood PCDDs and PCDFs in residents living near an industrial incinerator in Korea, *Archives of environmental contamination and toxicology* 2006; 51(3): 478-484.
- Nair J. Lipid peroxidation-induced etheno-DNA adducts in humans. In: Singer B, Bartsch H, eds. *International Agency for Research on Cancer (IARC) Sci Publ vol 150 Lyon: IARC 1999*. 55-61.
- Ogata M and Taguchi T. Simultaneous determination of urinary creatinine and metabolites of aromatic organic solvents by automated high performance liquid chromatography *Ind Health* 1987; 25: 225-228.
- Roy D, Palangat M, Chen CW, Thomas RD, Colerangle J, Atkinson A and Yan ZJ. Biochemical and molecular changes at the cellular level in response to exposure to environmental estrogen-like chemicals, *J Toxicol Environ Health* 1997; 50: 1-29.
- Schechter A, Papke O, Ball M, Lis A and Brandt-Rauf P. Dioxin concentrations in the blood of workers at municipal waste incinerators, *Occupational and environmental medicine* 1995; 52(6): 385-387.
- Van Schooten FJ, Hirvonen A, Maas LM, De Mol BA, Kleinjans JC, Bell DA, *et al.* Putative susceptibility markers of coronary artery disease: association between VDR genotype, smoking, and aromatic DNA adduct levels in human right atrial tissue, *Faseb J* 1998; 12(13): 1409-1417.
- Yang M. Development of exposure biomarkers for endocrine disrupting chemicals using DNA microarray, *J Environ Toxicol* 2005; 20: 327-332.
- Yang M, Park MS and Lee HS. Endocrine disrupting chemicals: human exposure and health risks, *J Environ Sci Health C Environ Carcinog Ecotoxicol Rev* 2006; 24(2): 183-224.